3 Dスキャナを用いた鋼板の3次元座標データの収集

和歌山工業高等専門学校 和歌山工業高等専門学校 神戸市立工業高等専門学校 正 会 員 東海旅客鉄道株式会社

学生会員 〇中島 輝生 正会員山田宰 酒造 敏廣 石徹白 翔太, 片井 大介

1. まえがき

3次元レーザスキャナ(以下, 3Dスキャナと呼ぶ) は、昨今の測量技術、とりわけ、レーザ測距技術の発 達に伴い、容易に3次元座標データを得られることが できるツールとして様々な用途がある. 土木分野への 適用例として、トンネルの断面形状把握¹⁾や地すべり 状況の把握²⁾などで大きな威力を発揮している. とこ ろで、3D スキャナ用いてを橋梁などの鋼構造物の解 析モデル作成が作成できれば、より多様な用途に 3D スキャナを利用することができ、かつ、より正確な数 値解析の実施が可能になるものと考えられる.

本研究は、3D スキャナによる 3 次元座標データを 直接的, 間接的に用いた, 鋼構造物の弾塑性有限変位 解析のためのモデルの作成を念頭にして,スキャンデ ータを利用するためのデータ整理手法について検討 を行ったものである.

2.3 Dスキャナとスキャン対象

本研究で用いた 3D スキャナである Leica ScanStation C10 を写真-1 に示す. また, その規格を 表-1に示す³⁾.この3Dスキャナは最大で水平360度, 鉛直 270 度の範囲がスキャン可能である. また, 最大



写真-1 Leica ScanStation C10

表-1 Leica ScanStation C10 の規格 ³⁾

測定範囲	距離	最大	300m
		最小	0.1m
	角度	水平	360°
		鉛直	270°
単発測定精度	座標	6mm	
	距離	4mm	
スキャンスピード	50,000 点/s		

の測定距離は反射率 90%時に 300m である. さらに、スキャンスピードは最大で 50,000 点/s であり相当程度に 高速なスキャンの実施が可能である. 単発の測定精度は座標値に対して 6mm, 距離に対して 4mm であり, こ の精度が許容できる場合であれば直接的にスキャンデータの利用が可能であると言える.

本研究では、鋼構造物への適用を念頭にして、一辺 1m の正方形鋼板を対象にしてスキャンを行った. スキ ャンにあたり、3Dスキャナと鋼板は約10mの間隔を持たせた.なお、鋼板はあらかじめワイヤーを用いて鋼 板中央部を牽引してたわみを生じさせている.

3. スキャンデータのノイズ除去手法

既述の通り、今回使用した 3D スキャナから得られる座標値には大きく見積もって 6mm 程度の誤差が含ま れていることになる.この誤差の原因の一つとしてトランシットやトータルステーションで発生する三軸誤差 が挙げられる. 三軸誤差の一部は望遠鏡を反転させつつ観測を行い正位, 反位の測定結果を平均することによ り消去できることが知られている. 3D スキャナにおいても正位, 反位の測定を試みたが, 必ずしも同一の点 をスキャンするとは限らず,正位,反位の測定点に差異が生じることが判明した.

そこで、スキャンデータからノイズを除去する手法としてフーリエ変換を用いた. ある連続的な時間の関数 g(t)が与えられたとき,フーリエ変換と逆フーリエ変換の式は以下の式で表される4.

キーワード 3D レーザスキャナ, ノイズ除去, フーリエ変換

連絡先 〒644-0023 和歌山県御坊市名田町野島 77 TEL:0738-29-8456 FAX:0738-29-8469

$$G(f) = \int_{-\infty}^{\infty} g(t)e^{-2\pi i f t} dt \tag{1}$$

$$g(t) = \int_{-\infty}^{\infty} G(f)e^{-2\pi i f t} df$$
 (2)

上式のうち、式(1)はフーリエ変換を表す.一方で式(2)は逆フーリエ変換を表す.これらの式から、時間の関数g(t)をフーリエ変換することにより周波数の関数G(t)に変化し、かつ、G(t)を逆フーリエ変換するとg(t)に戻ることがわかる.そこで、この原理を応用して3Dスキャナの座標データを波としてとらえ、フーリエ変換と逆フーリエ変換を行ってノイズに該当する周波数の波の除去を行った.なお、実際のスキャンデータについては、離散フーリエ変換を用いている.

4. 鋼板のスキャン結果とノイズ除去結果

(1)奥行方向と横方向の座標値

3D スキャナを用いて鋼板を測定した結果のうち、 鋼板中央部付近の奥行方向の座標値と水平方向の座標値を図-1 に示す. 図中には、ノギスを用いて鋼板を実測した結果(実測値)も合わせて示している. この図から、スキャンデータは実測値に対応して概ね同様な傾向が見られ、鋼板中央部に向けて徐々に奥行方向の座標値が上昇していることがわかる. また、スキャンデータの奥行座標値はバラツキが見られ、鋼板の形状を把握することは難しいことがわかる.

(2)スキャンデータのパワースペクトル

スキャンデータの横方向の座標値を時間と読み替え、フーリエ変換を行い得られたパワースペクトルを図-2に示す.スキャンデータには1Hz付近の波が最も大きく影響を及ぼしていることがわかる.その一方で、ノイズがスキャンデータに含まれていることにより、周波数が大きな成分も多分に含まれていることがわかる.

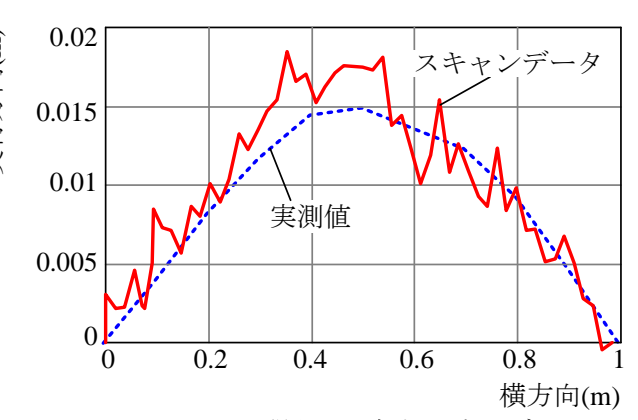


図-1 スキャンにより得られた鋼板の座標データ

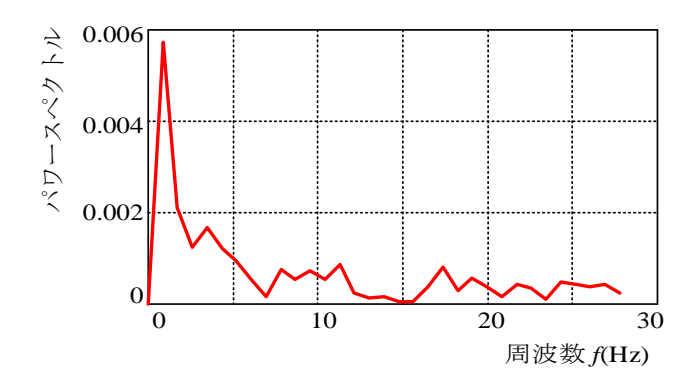


図-2 パワースペクトル

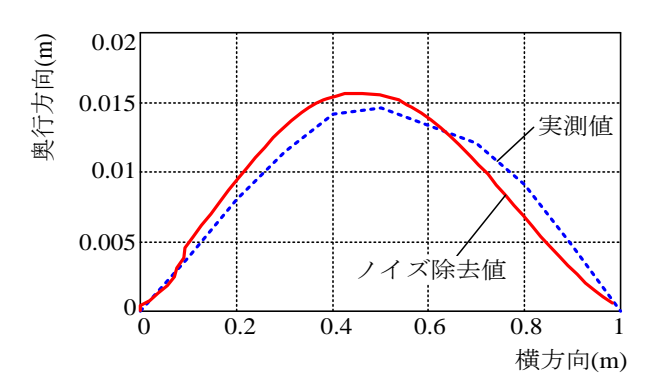


図-3 2Hz 以上の成分を取り除いたノイズ除去値と実測値

(3)ノイズ除去したスキャンデータ

フーリエ変換を行った結果から、2Hz 以上の部分を削除し、逆フーリエ変換を行った結果を図-3 に示す. この図から、2Hz 以上の周波数の波が除去されたことにより、奥行き方向のスキャンデータに含まれていた座標値の細かな変動が減少していることがわかる.このことから、除去する周波数を適切に選択すればスキャンデータの細かなバラツキを抑制できるものと考えられる.その一方で、実測値とノイズ除去値には依然として差異が見られ、さらなる検討が必要であると言える.

4. まとめ

本研究は、3D スキャナを用いて鋼板をスキャンし、スキャンデータからのノイズの除去を試みたものである。フーリエ変換を用いることにより座標値の細かなバラツキを抑制できる可能性のあることを述べた。

参考文献 1)塩崎正人, 安藤文彦, 岡本 隆:3 次元レーザースキャナーのトンネル施工管理への適用事例, 建設の施工企画'07.11, 日本建設機械化協会・日本建設機械施工協会, pp.20-25, 2007 年 11 月. 2)下村博之, 武士俊也, 石田孝司, 樋口佳意, 西山昭一, 児玉 浩:地上型レーザースキャナーによる地滑り地表面把握の試み, 第 49 回日本地すべり学会研究発表会講演集, pp.222-223, 2010 年 7 月. 3)ライカジオシステム株式会社: Leica ScanStation C10 テクニカルデータ. 4)金丸隆志: Excel で学ぶ理論と技術 フーリエ変換入門, ソフトバンククリエイティブ株式会社, 2007 年 1 月.